

# EVOLUTION DU CARBONE ANTHROPIQUE EN MERS DU LABRADOR ET D'IRMINGER POUR LA PERIODE 2011-2021 A PARIR DES DONNEES ARGO-O<sub>2</sub>

Réunion annuelle des 3 projets Argo

Rémy Asselot

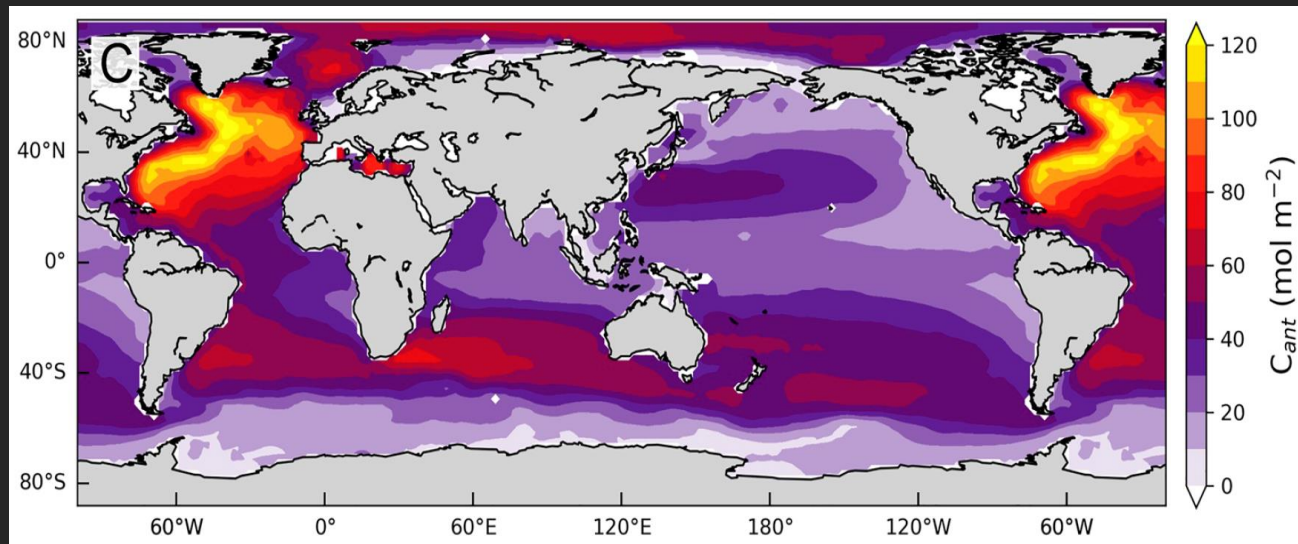
Virginie Thierry, Lidia I. Carracedo, Herlé Mercier, Antón Velo, Raphaël Bajon & Fiz F. Pérez



# INTRODUCTION

1

- Carbone anthropique ( $C_{ant}$ ) =  $\text{CO}_2$  émis par les activités humaines
- Environ  $25\pm2\%$  du  $C_{ant}$  a été absorbé par l'océan (Friedlingstein et al., 2022)

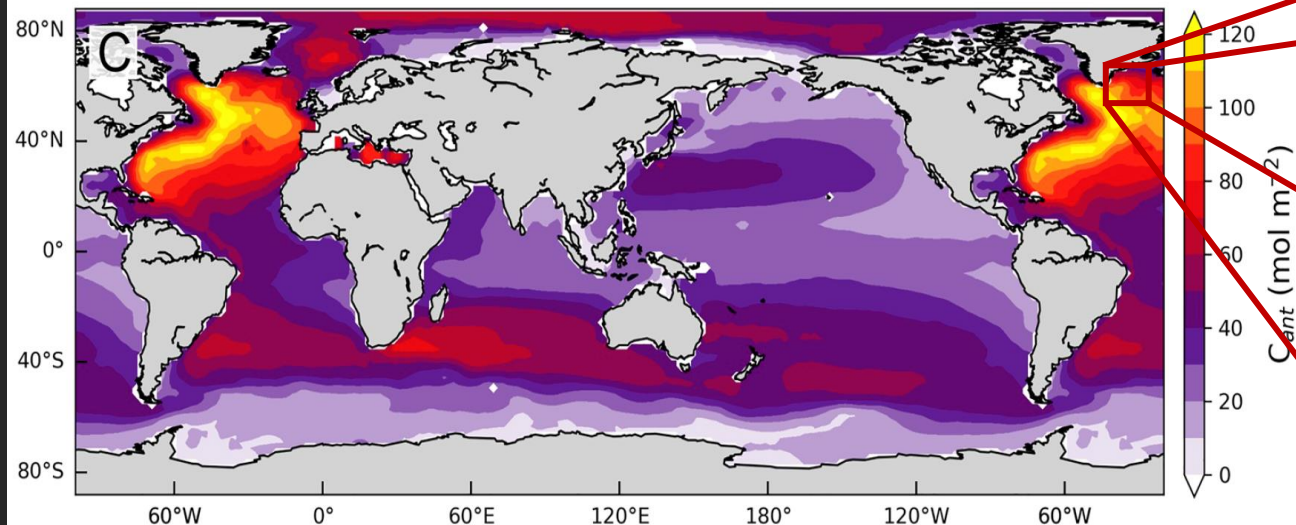


Davila et al., 2022

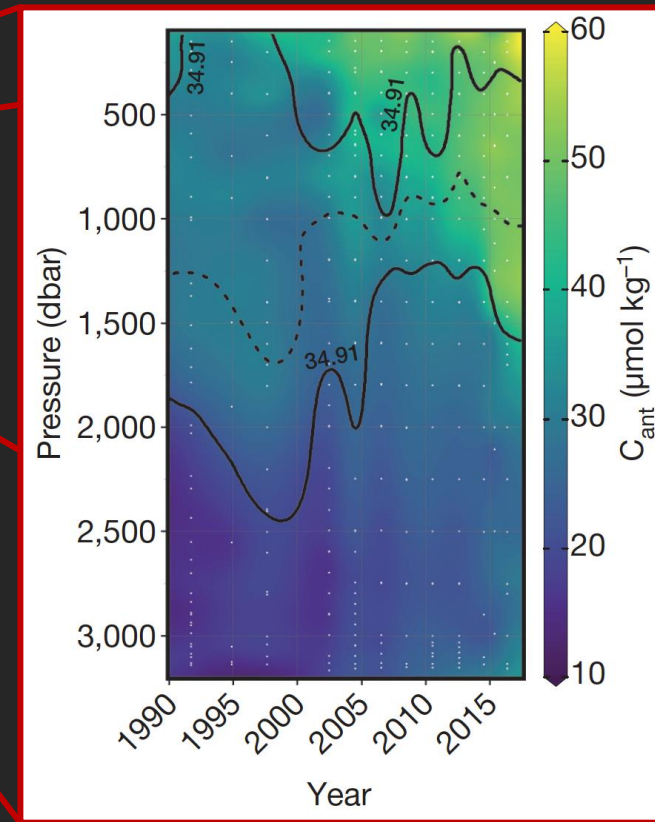
# INTRODUCTION

1

- Carbone anthropique ( $C_{\text{ant}}$ ) =  $\text{CO}_2$  émis par les activités humaines
- Environ  $25 \pm 2\%$  du  $C_{\text{ant}}$  a été absorbé par l'océan (Friedlingstein et al., 2022)



Davila et al., 2022



Pérez et al., 2018

# MOTIVATION

- Grâce aux campagnes océanographiques nous connaissons la distribution générale du C<sub>ant</sub> mais...

**Nous ne connaissons pas la distribution du C<sub>ant</sub> sur des échelles spatiales et temporelles fines**

... Argo-O<sub>2</sub> rentre en jeu

# METHODES

Argo-O<sub>2</sub>

Argo floats: date, lat, lon, pres, temp, sal, oxy



# METHODES

Argo-O<sub>2</sub>

Réseaux de  
neurones

Carter et al., 2021  
Bittig et al., 2018

Argo floats: date, lat, lon, pres, temp, sal, oxy

ESPER: Alk, DIC, PO<sub>4</sub>, NO<sub>3</sub>, SiOH<sub>4</sub>

CONTENT: Alk, DIC, pH, pCO<sub>2</sub>



# METHODES

Argo-O<sub>2</sub>

Réseaux de  
neurones

Carter et al., 2021  
Bittig et al., 2018

Argo floats: date, lat, lon, pres, temp, sal, oxy

ESPER: Alk, DIC, PO<sub>4</sub>, NO<sub>3</sub>, SiOH<sub>4</sub>

CONTENT: Alk, DIC, pH, pCO<sub>2</sub>



# METHODES

Argo-O<sub>2</sub>

Réseaux de neurones

Carter et al., 2021  
Bittig et al., 2018

Back-calculation method

Pérez et al., 2008

Argo floats: date, lat, lon, pres, temp, sal, oxy

ESPER: Alk, DIC, PO<sub>4</sub>, NO<sub>3</sub>, SiOH<sub>4</sub>

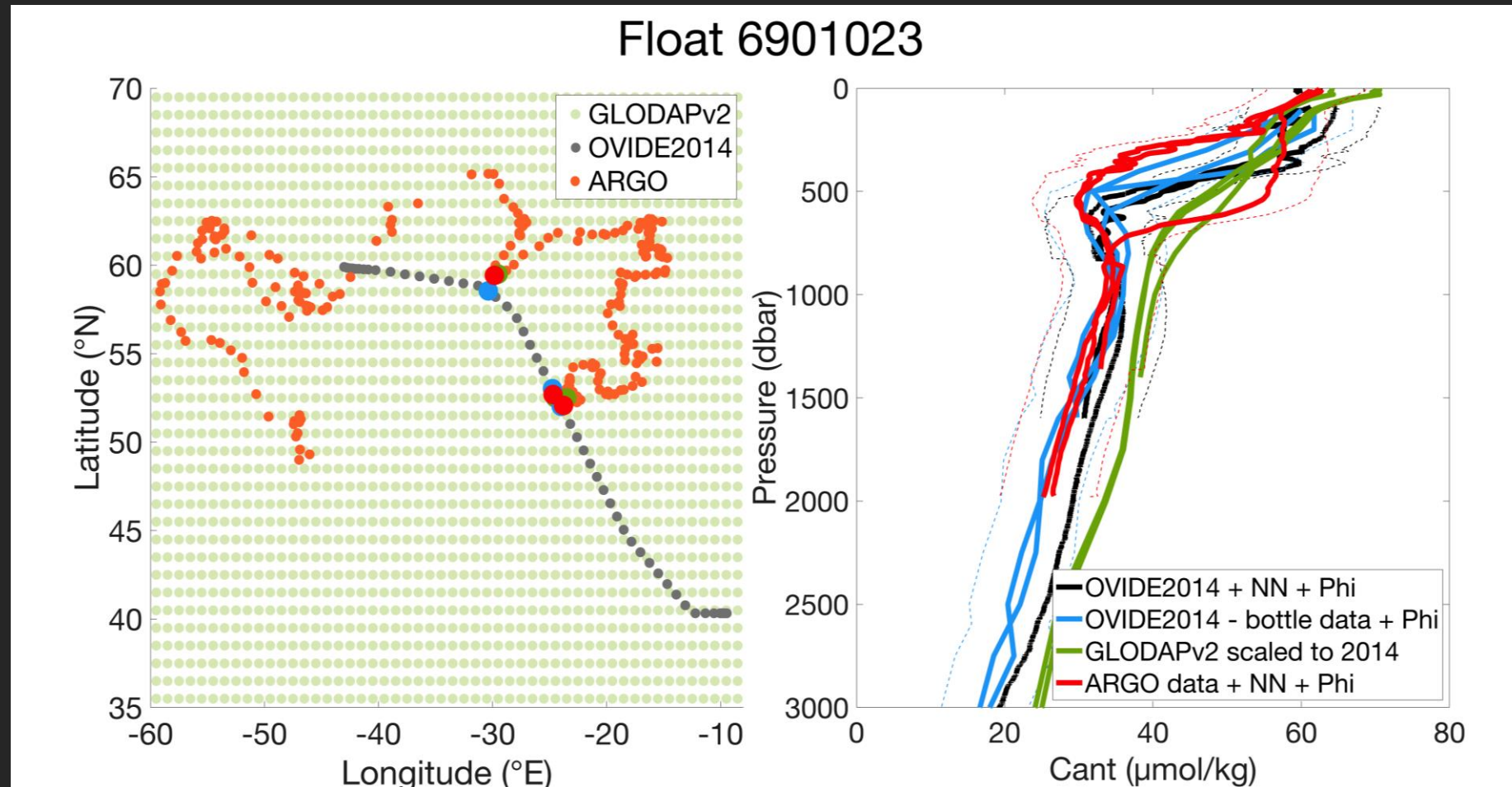
CONTENT: Alk, DIC, pH, pCO<sub>2</sub>

C<sub>ant</sub>



# METHODES

4

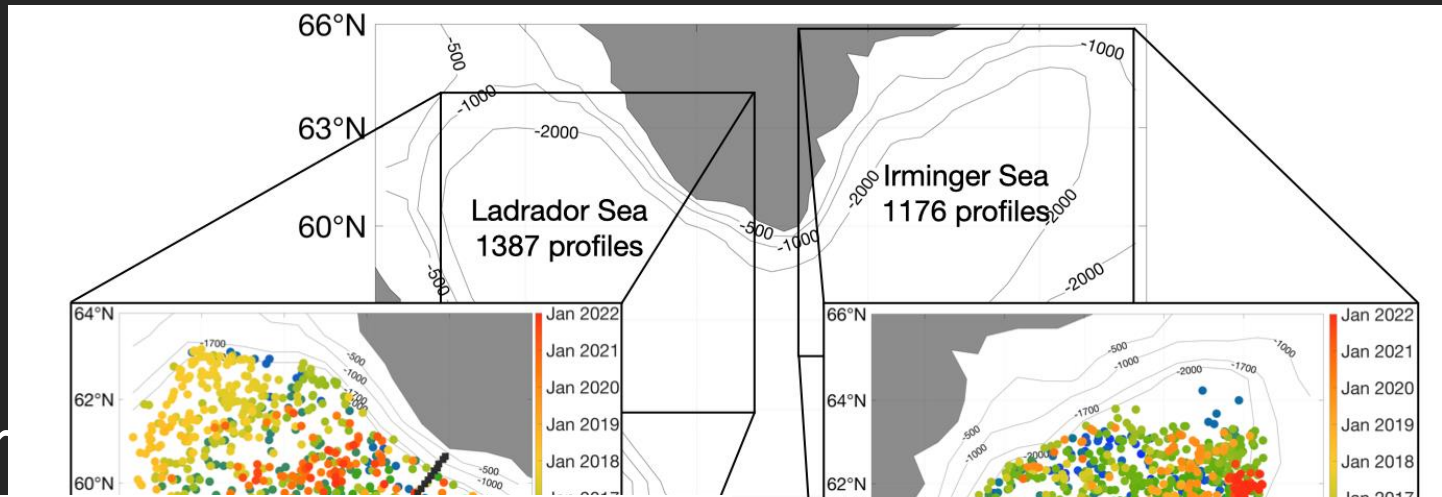
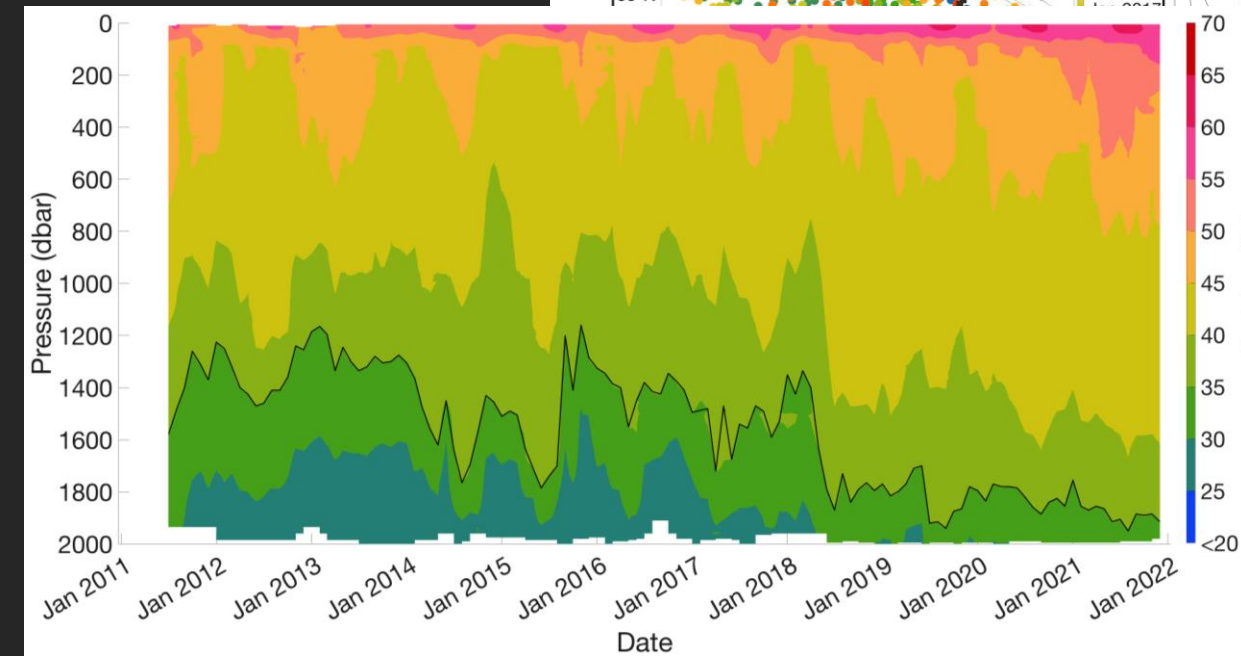


Incertitude moyenne est de  $\pm 5.9 \mu\text{mol kg}^{-1}$

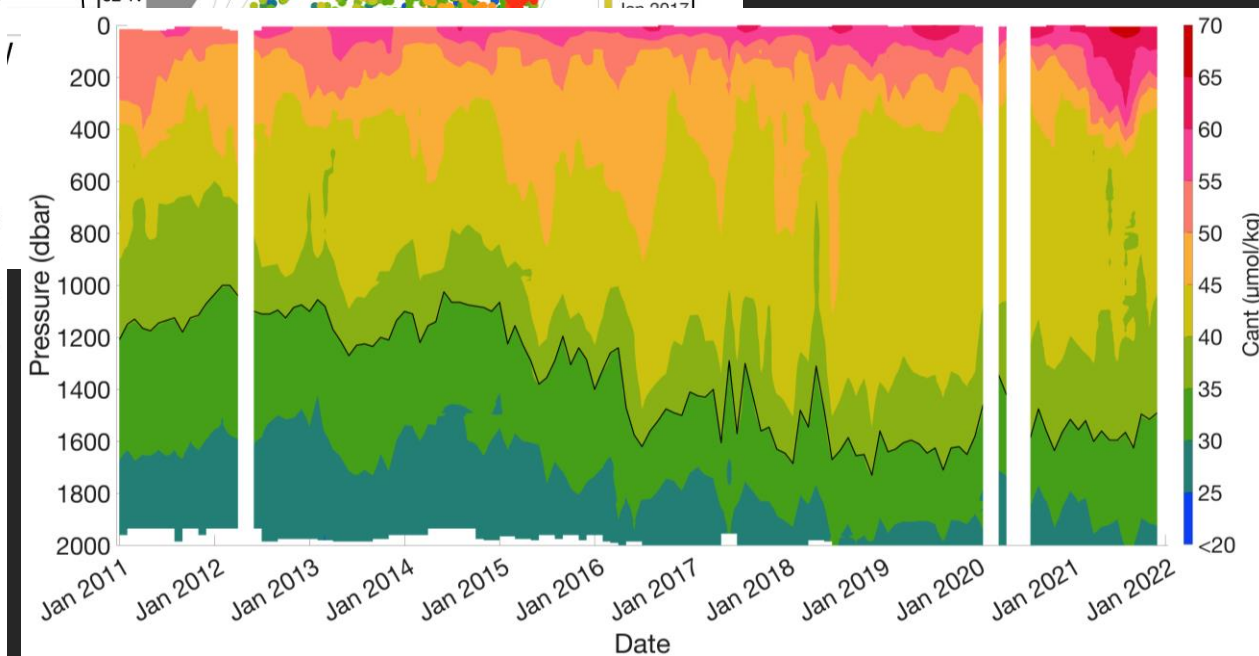
# RESULTATS

5

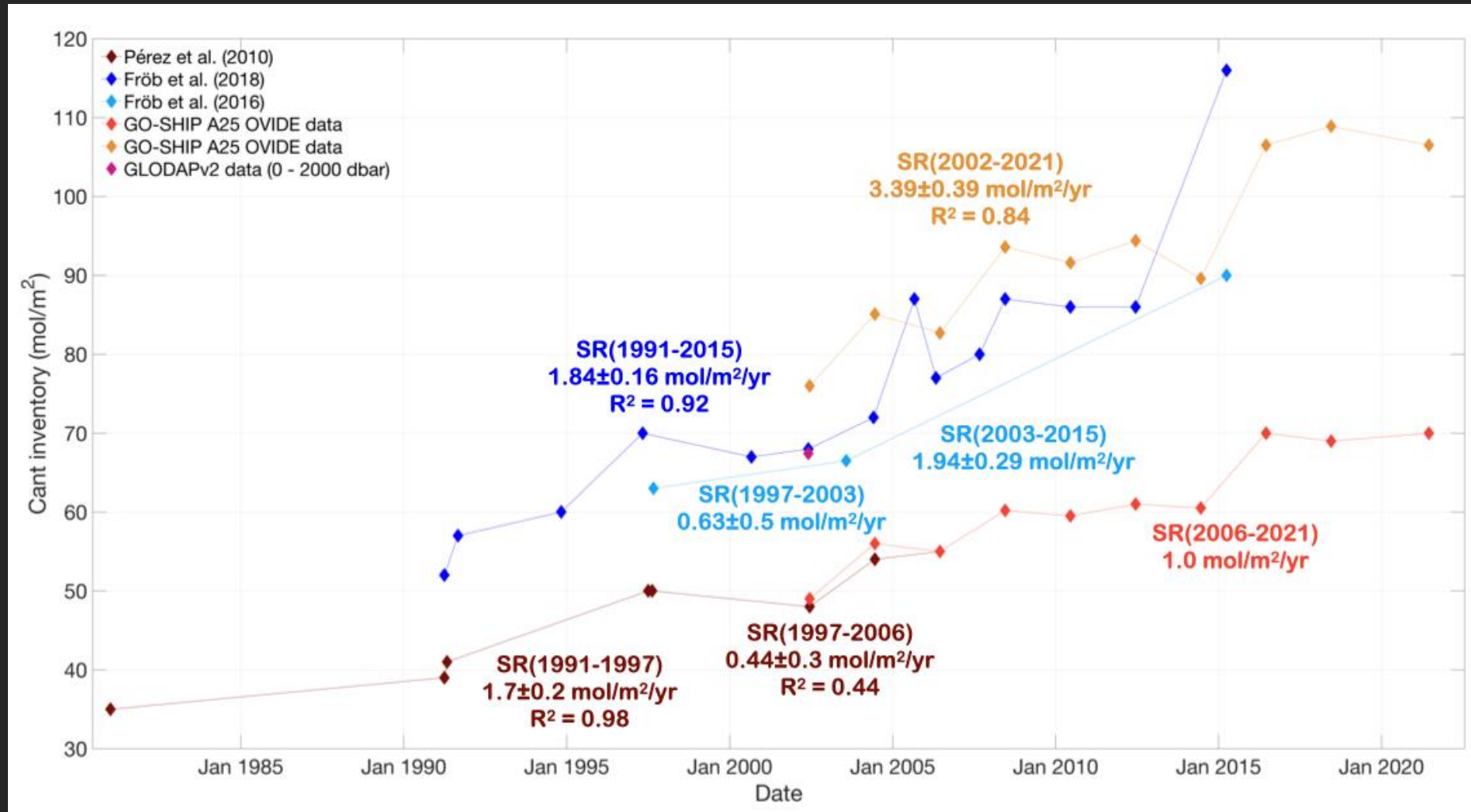
Mer du Labrador



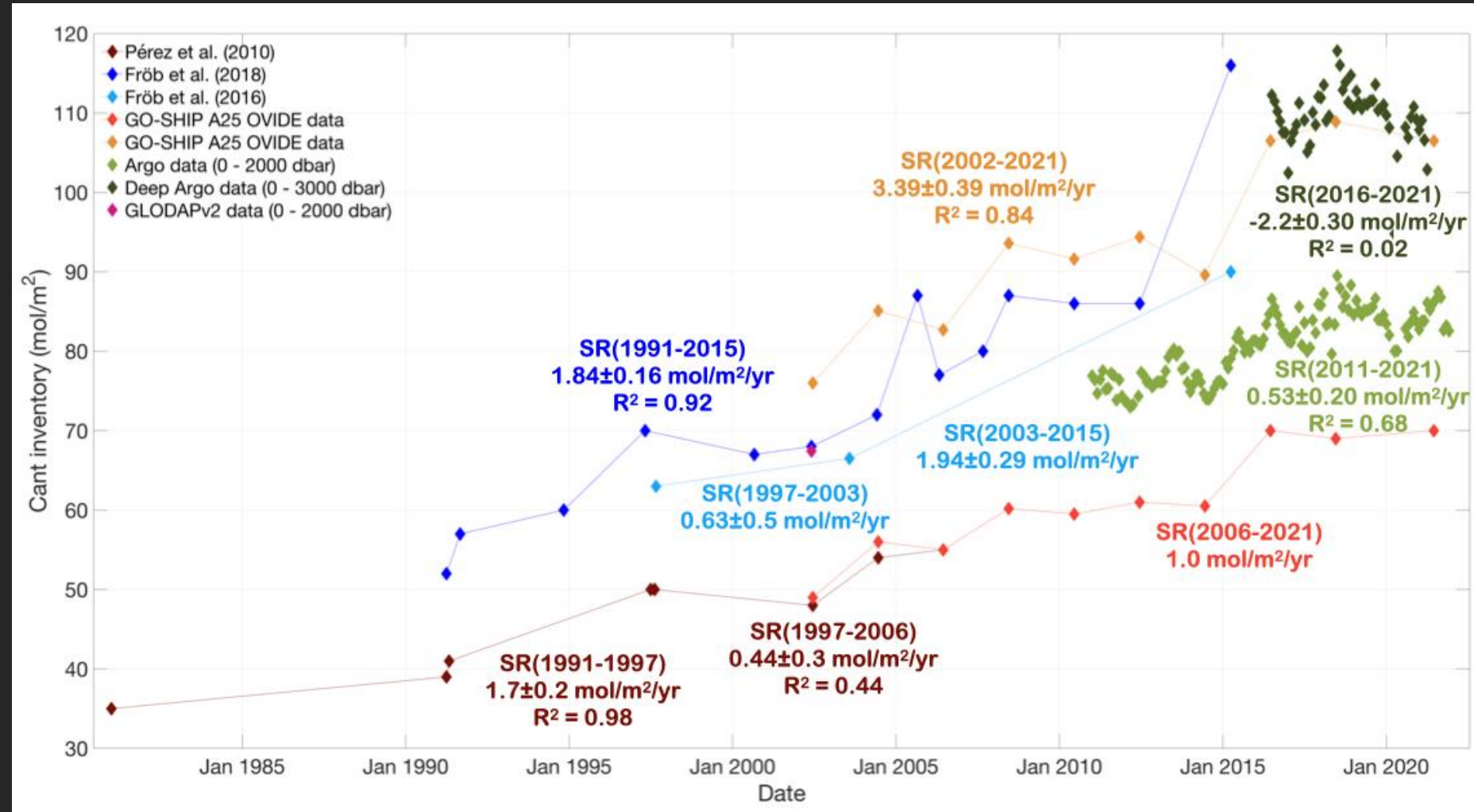
Mer d'Irminger



# RESULTATS



# RESULTATS



# CONCLUSIONS & PERSPECTIVES

7

- Flotteurs Argo-O<sub>2</sub> améliorent la distribution spatiale et temporelle des données de C<sub>ant</sub>
- Permet de décrire les mécanismes physiques affectant la distribution de C<sub>ant</sub> à petite échelle
- Complémentarité entre compagnes océanographiques et Argo-O<sub>2</sub>,